

(144)

## 異周波数電源を使用した溶融金属電気抵抗測定装置

株式会社 安川電機製作所 後藤忠彦 〇 藤島武文  
池田満昭

## 1 緒言

溶融金属の電気抵抗を測定する一方法として回転磁場法があるが、発熱体に流れる電流によって磁場を生じこの磁場が、試料に測定誤差の要因となる付加トルクを与える。通常、この影響をなくすために、発熱体を二重円筒形にするなどの工夫が施されている。本装置は、発熱体電源と回転磁場を発生させるステータ電源に異なる周波数を用いることにより、発熱体に流れる電流の影響をなくした。したがって、発熱体は構造が簡単となり、高温ふん囲気を容易につくりうる。以下に、原理と本装置を使って測定した銅および鉄の測定結果を示す。なお、本装置は九大工学部鉄鋼冶金の小野助教授のご指導、ご好意により、同教室のものをモデルにさせていただいた。

## 2 原理

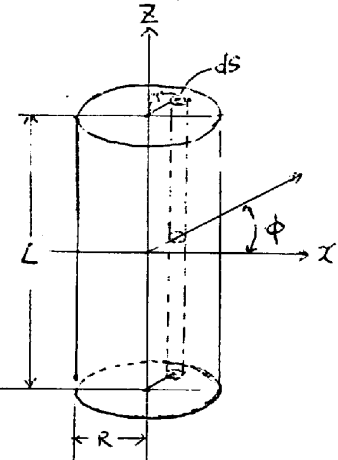
今、回転磁場  $\mathbf{B}_0 = (B_0 \cos \omega_0 t, B_0 \sin \omega_0 t, 0)$   $\omega_0$ : 角速度  
発熱体電流による磁場  $\mathbf{B}_1 = (B_1 \cos (\omega_1 t + \theta), 0, 0)$   $\theta$ : 位相差  
とする。Maxwellの方程式  $\nabla \times \mathbf{E} = -\frac{\partial \mathbf{B}_1}{\partial t}$  を解けば、

$E_z = B_1 \omega_1 R \sin \phi \sin(\omega_1 t + \theta)$  ゆえに磁場  $\mathbf{B}$  によって試料中に生ずる電  
流密度  $\mathbf{J} = (0, 0, J_z)$  は、試料の固有電気抵抗を  $\rho$  とすれば、

$J_z = \rho B_1 \omega_1 R \sin \phi \sin(\omega_1 t + \theta)$  したがって、微小部分  $L dS$  に働くモーメント  $dM$  は、 $dM = \mathbf{r} \times \mathbf{J} \times \mathbf{B}_0 \times L dS$  ゆえに試料全体に働くモーメント  $M_z$  は  
 $M_z = (\pi / \rho) R^2 L B_0 B_1 \omega_1 [\cos \{(\omega_1 - \omega_0)t + \theta\} - \cos \{(\omega_1 + \omega_0)t + \theta\}]$

となる。時間平均をとれば、 $\omega_1 \neq \omega_0$  のとき、 $M_z = 0$

したがって、発熱体電源、ステータ電源に異なる周波数を使用することにより、発熱体に流れる電流による磁場の影響をなくすことができる。本装置は発熱体電源に 50Hz、ステータ電源に 60Hz を用いた。



## 3 実験結果

銅および鉄の測定結果を下図に示す。

測定はそれぞれ 2 回行ない、1 回目、2 回目について、最小二乗法で直線関係を求め、最終的にはその平均値をとった。結果は、

$$\rho_{Cu} = 7.9 \text{ (mho/cm)} + 1.24 \times 10^{-2} T \text{ (°C)}$$

$$\rho_{Fe} = 57.8 \text{ (mho/cm)} + 5.16 \times 10^{-2} T \text{ (°C)}$$

となった。  
銅、鉄とともに他の測定者<sup>2)</sup>の値とよく一致している。なお、密度の値としては、銅は川合、岸本<sup>3)</sup>の測定値、鉄は斎藤<sup>4)</sup>の測定値を使用した。

## 文献

- 1) 和氣、平山、小野ら：九大工学集報 42(1970), 95/
- 2) 小野、平山ら：鉄と鋼, 60(1974)/4号 P34  
森田、喜多ら：鉄と鋼, 60(1974)S / 23
- 3) 川合、岸本：日本金属学会誌(1973) Vol. 37 P670
- 4) 斎藤、天辰ら：東北大学選研集報, 25(1969) P67

